

# Sensori meccanici

Caratterizzazione dei sensori meccanici:

- tipi di dispositivi, circuito di lettura (read-out) e modello del sensore (sensibilità)

## 1. Sensori piezoelettrici:

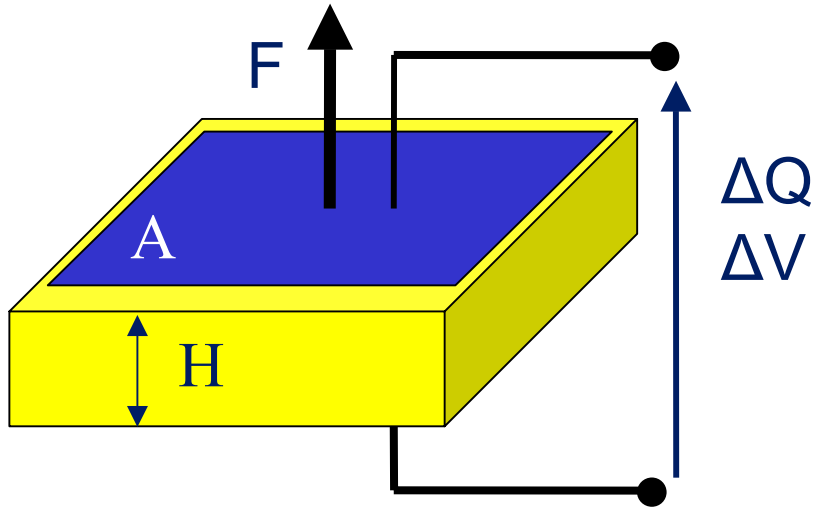
1.1 sensore di accelerazione PI-FET (Chen et al., 1980)

## 2. Sensori piezoresistivi:

2.1 sensore di pressione ad alta precisione per applicazioni biomediche (Samaun et al., 1973)

2.2 sensore MAP (MOTOROLA)

# Sensori piezoelettrici



$$\Delta Q = DA = d\sigma A = dF$$

$$\Delta V = \frac{dF}{\epsilon A/H} = \frac{dH\sigma}{\epsilon}$$

$$D_i = \epsilon_{ik} E_k + d_{i,kl} \sigma_{kl}$$

## Sensori piezoelettrici

$$D_i = \varepsilon_{ik} E_k + d_{i,kl} \sigma_{kl}$$

$$\varepsilon = \begin{bmatrix} \varepsilon_{11} & 0 & 0 \\ 0 & \varepsilon_{22} & 0 \\ 0 & 0 & \varepsilon_{33} \end{bmatrix}$$

	$\varepsilon_{11} = \varepsilon_{22}$	$\varepsilon_{33}$
SiO <sub>2</sub>	4.5 $\varepsilon_0$	4.6 $\varepsilon_0$
BaTiO <sub>3</sub>	1268 $\varepsilon_0$	1419 $\varepsilon_0$
ZnO	10.8-11 $\varepsilon_0$	10.8-11 $\varepsilon_0$

# Sensori piezoelettrici

$$D_i = \varepsilon_{ik} E_k + d_{i,kl} \sigma_{kl}$$

$\sigma_{kl} \xrightarrow{\text{yellow arrow}} \sigma_m, m=1,\dots,6 \xrightarrow{\text{yellow arrow}} d_{i,kl} \xrightarrow{\text{orange arrow}} d_{im}$

$$\mathbf{d} = \begin{bmatrix} d_{11} & d_{12} & d_{13} & d_{14} & d_{15} & d_{16} \\ d_{21} & d_{22} & d_{23} & d_{24} & d_{25} & d_{26} \\ d_{31} & d_{32} & d_{33} & d_{34} & d_{35} & d_{36} \end{bmatrix}$$

# Sensori piezoelettrici

$d =$	[	$d_{11}$	$d_{11}$	$0$	$d_{14}$	$0$	$0$	] <b>SiO<sub>2</sub></b>	
		$0$	$0$	$0$	$0$	$-d_{14}$	$-2 d_{11}$		$d_{11} = -2.31 \text{ pC/N}$
		$0$	$0$	$0$	$0$	$0$	$0$		$d_{14} = -0.727 \text{ pC/N}$
$d =$	[	$0$	$0$	$0$	$0$	$d_{15}$	$0$	] <b>BaTiO<sub>3</sub></b>	
		$0$	$0$	$0$	$d_{15}$	$0$	$0$		$d_{31} = -79 \text{ pC/N}$
		$d_{31}$	$d_{31}$	$d_{33}$	$0$	$0$	$0$		$d_{33} = 191 \text{ pC/N}$
								<b>ZnO</b>	
								$d_{31} = -5.1 \text{ pC/N}$	
								$d_{33} = 12.3 \text{ pC/N}$	
								$d_{15} = -8.3 \text{ pC/N}$	

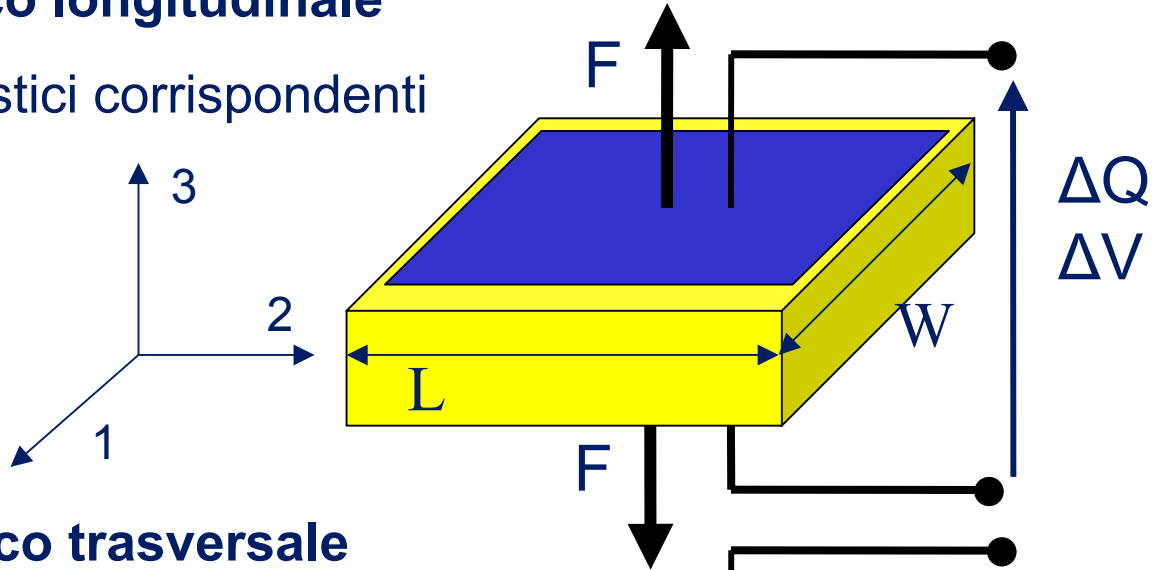
# Sensori piezoelettrici

## Coefficiente piezoelettrico longitudinale

Es. ZnO con assi caratteristici corrispondenti

agli assi indicati in figura:

$$D_3 = d_{33} F/(WL)$$



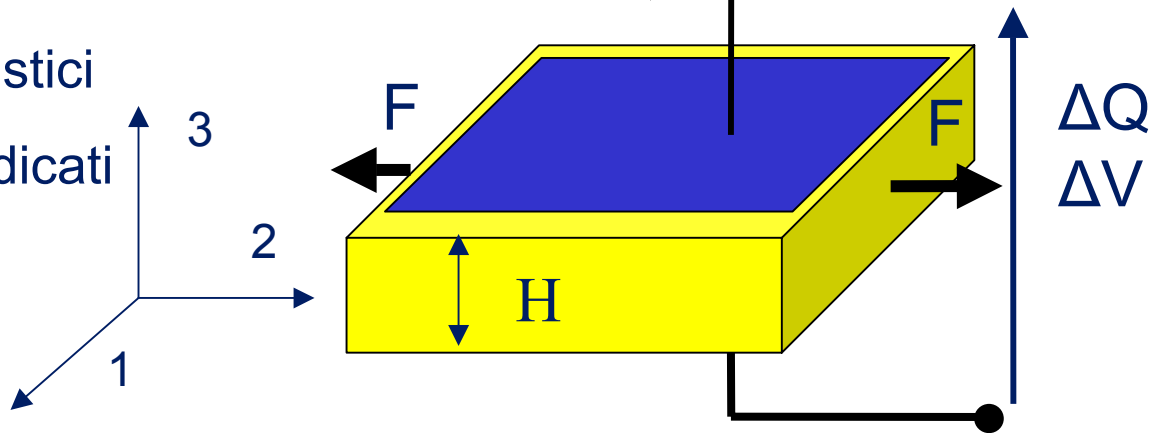
## Coefficiente piezoelettrico trasversale

Es. ZnO con assi caratteristici

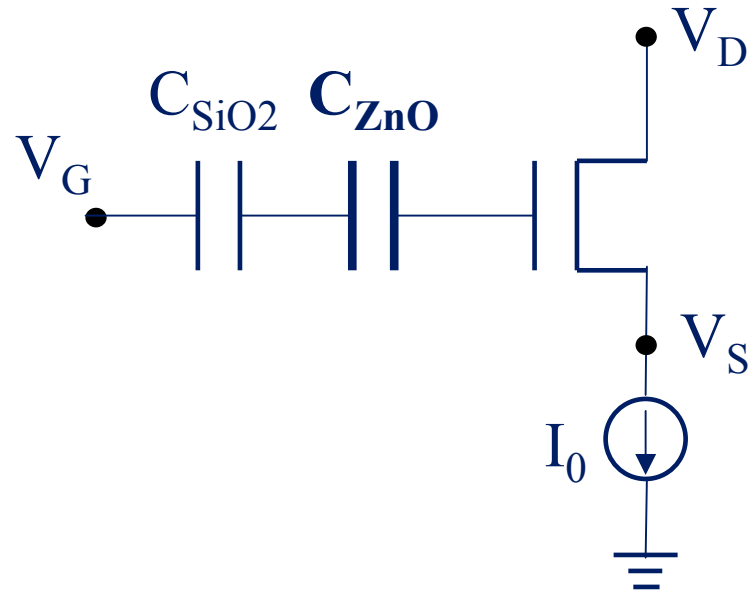
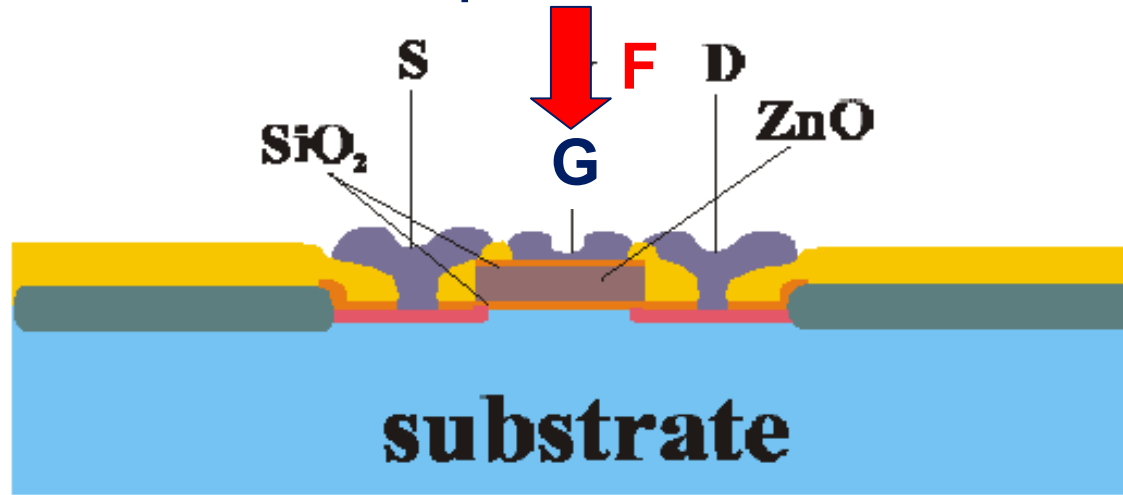
corrispondenti agli assi indicati

in figura:

$$D_3 = d_{31} F/(HW)$$

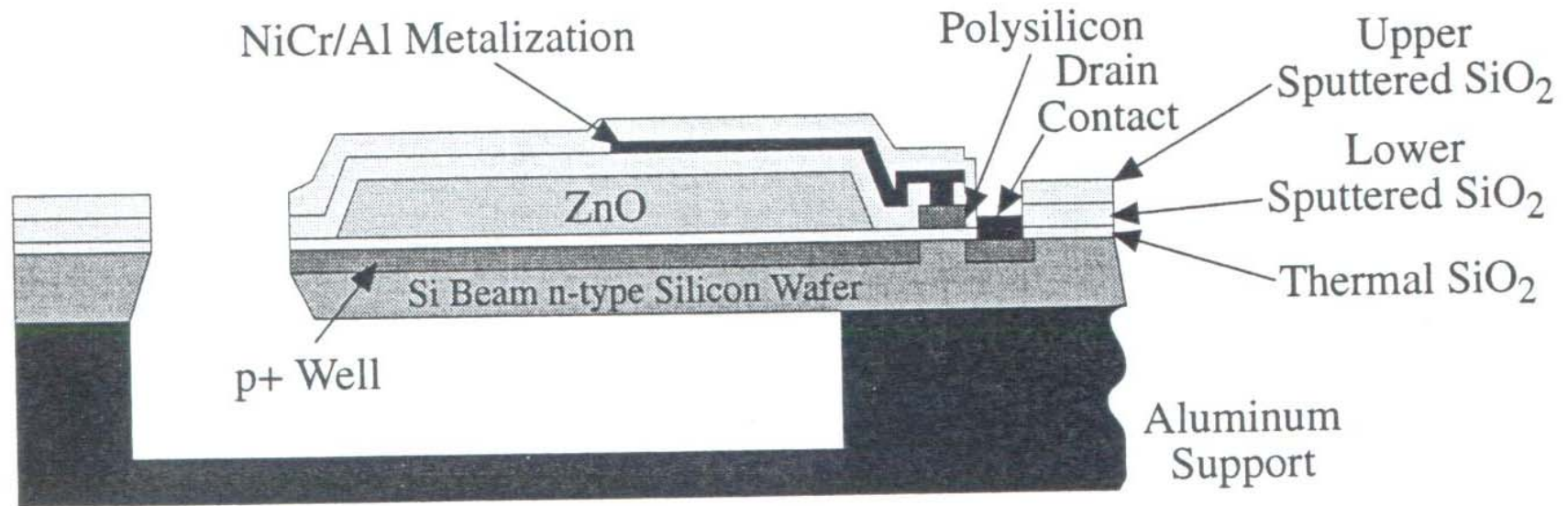


# Sensori piezoelettrici



# Sensore di accelerazione piezoelettrico PI-FET

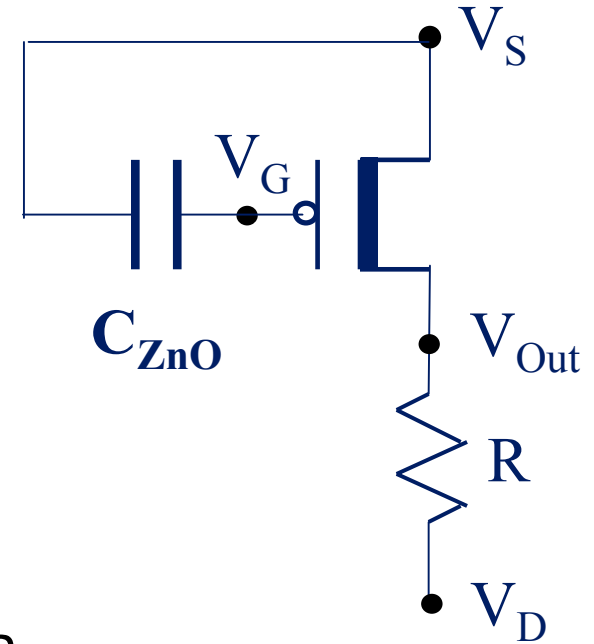
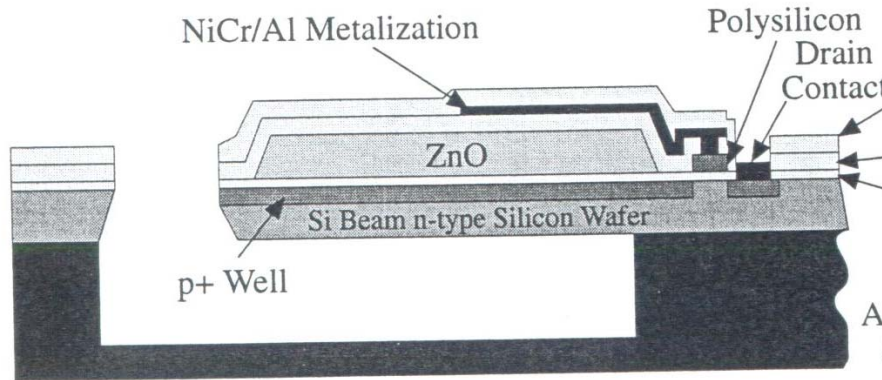
(P. Chen et al., "Integrated silicon microbeam PI-FET accelerometer",  
IEEE Tr. ED 29, 1982)





# Analisi del circuito di lettura:

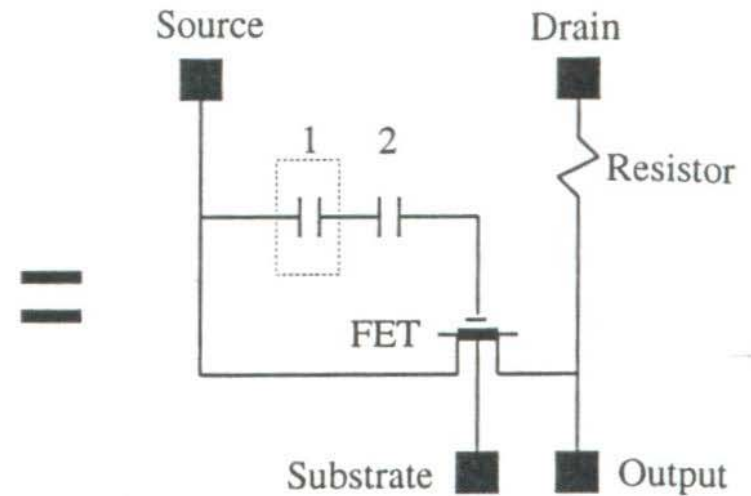
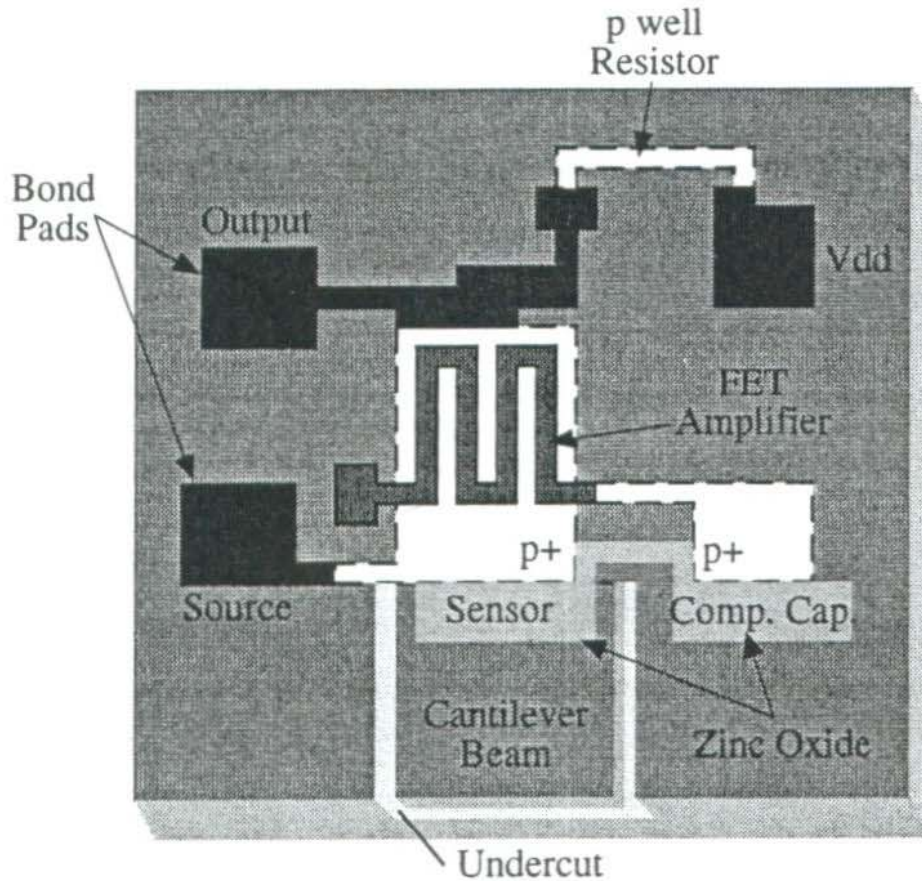
## 1. Amplificatore a uno stadio (pFET a svuotamento)



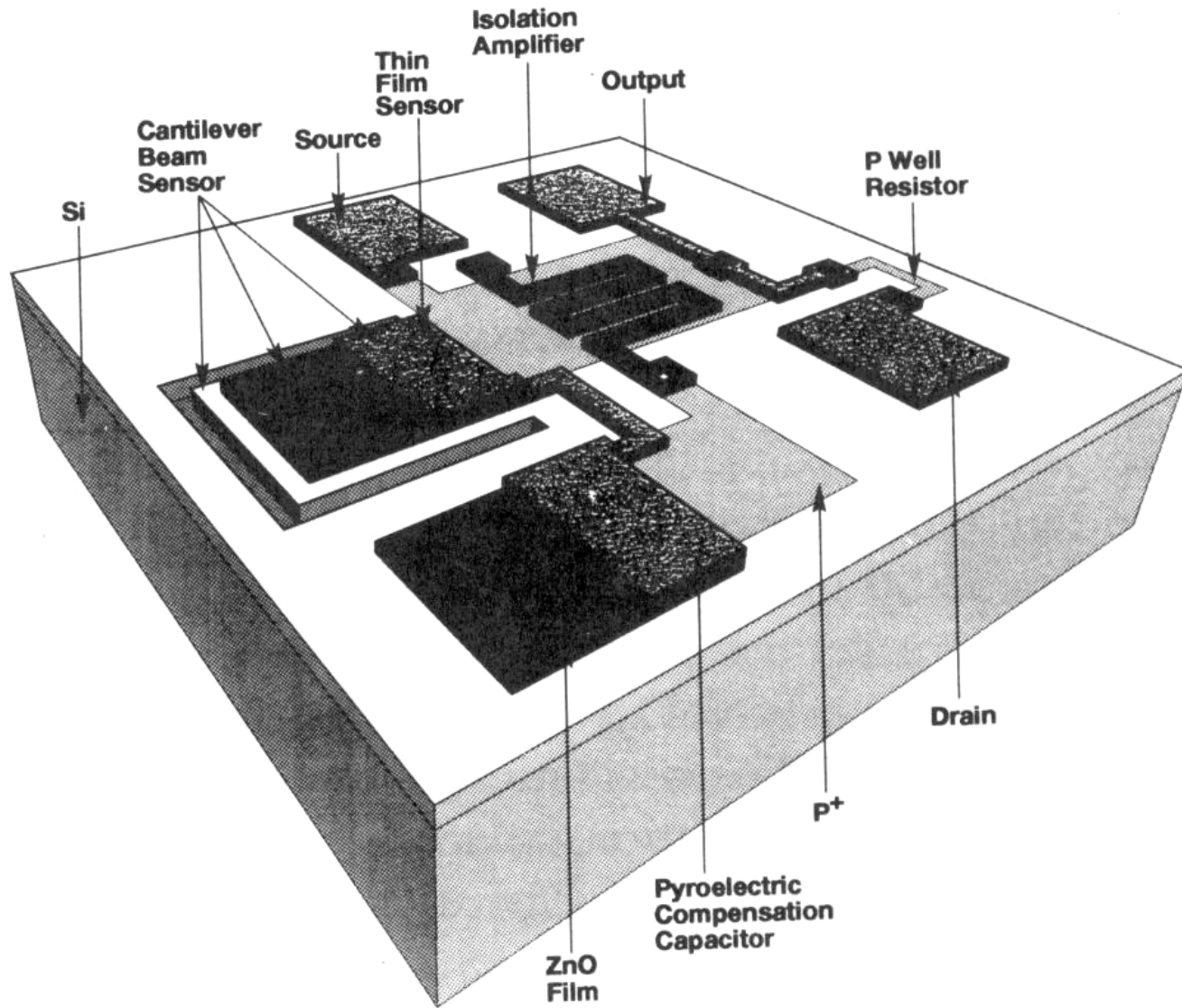
guadagno di tensione dell'amplificatore:  $A_v = -R g_{mp}$

# Analisi del circuito di lettura:

## 2. Circuito di compensazione delle variazioni dovute alla temperatura



Piezoelectric thin film capacitors:  
1 - Strained capacitor on beam  
2 - Unstrained compensation capacitor



# Sensori meccanici

Caratterizzazione dei sensori meccanici:

- tipi di dispositivi, circuito di lettura (read-out) e modello del sensore (sensibilità)

## 1. Sensori piezoelettrici:

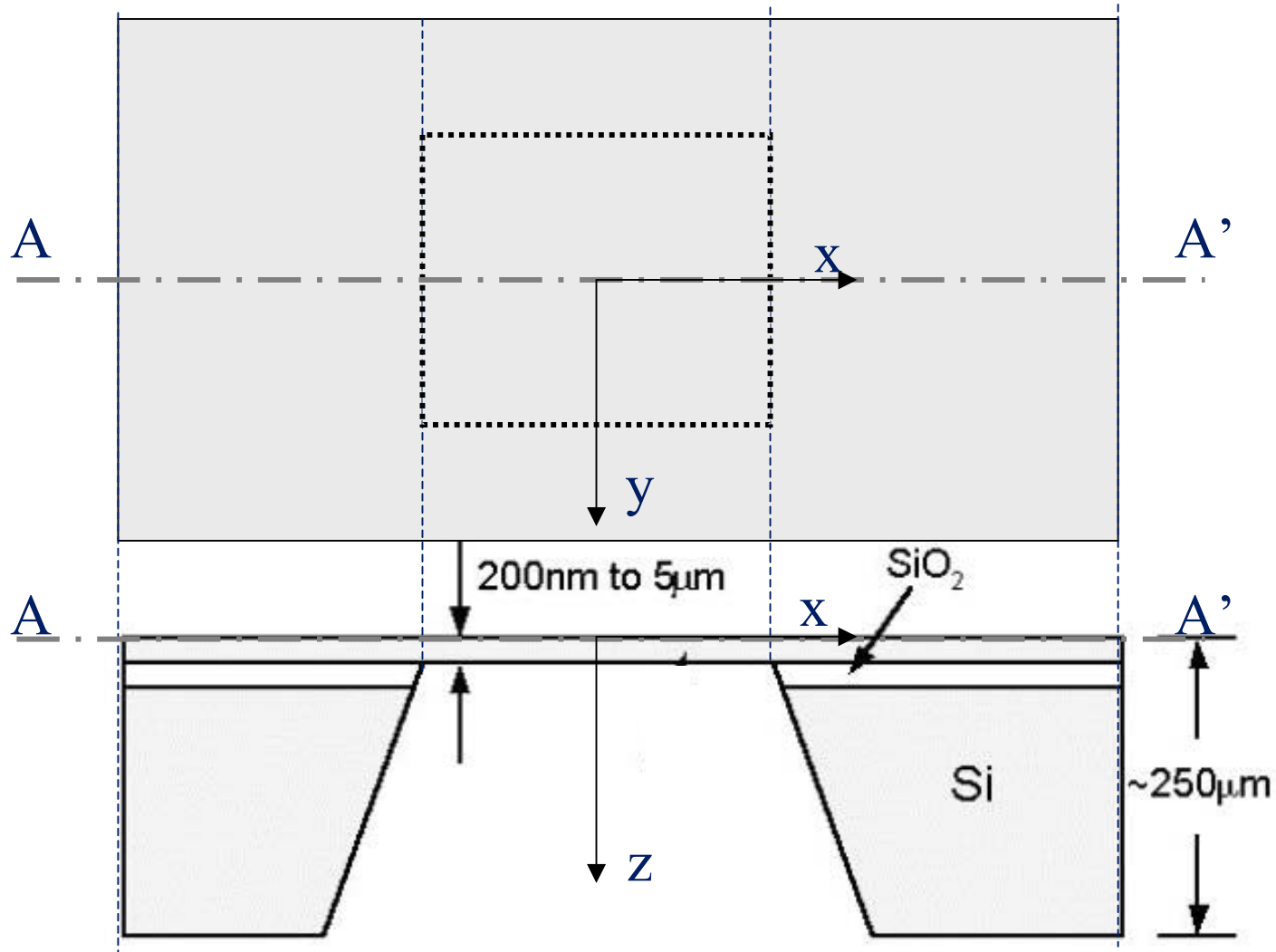
1.1 sensore di accelerazione PI-FET (Chen et al., 1980)

## 2. Sensori piezoresistivi:

2.1 sensore di pressione ad alta precisione per applicazioni biomediche (Samaun et al., 1973)

2.2 sensore MAP (MOTOROLA)

# Membrane MEMS in silicio



# Deformazione e sforzo sulla membrana

(S.K.Clark & K.D. Wise, IEEE Tr. ED 26, 1979)

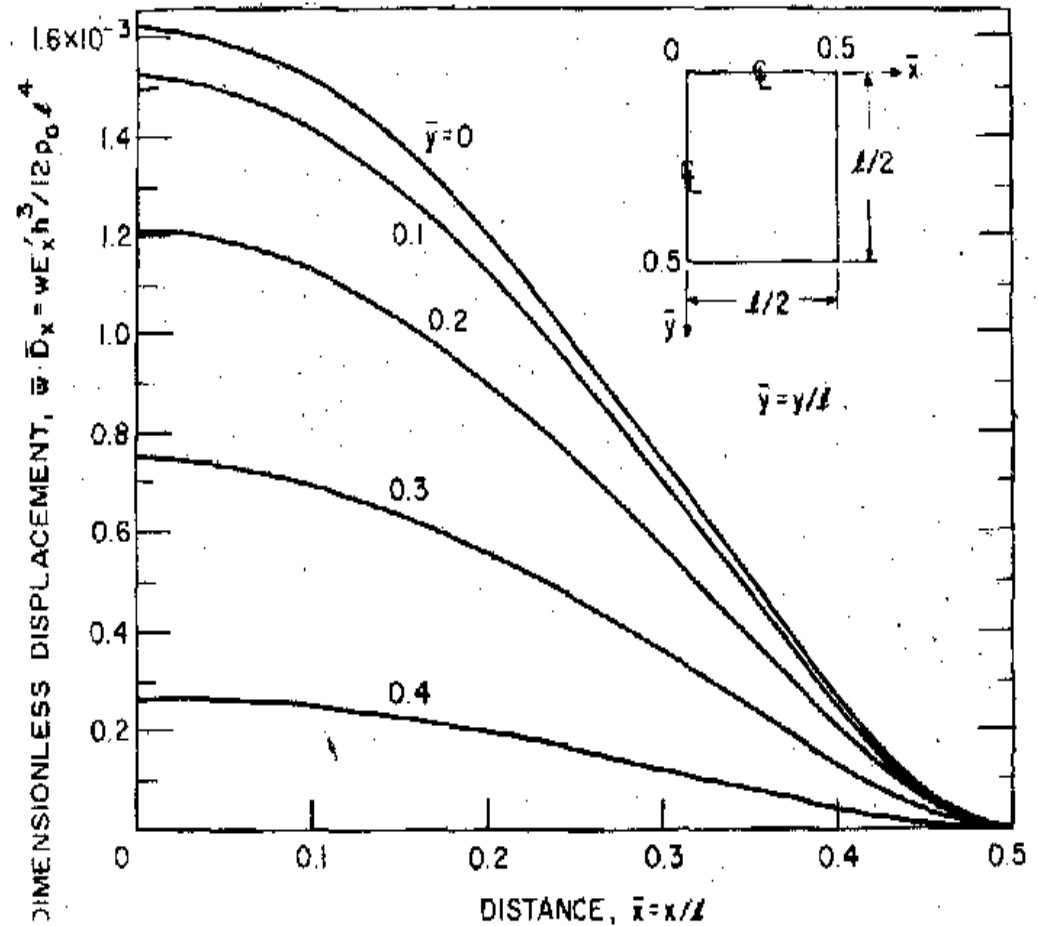
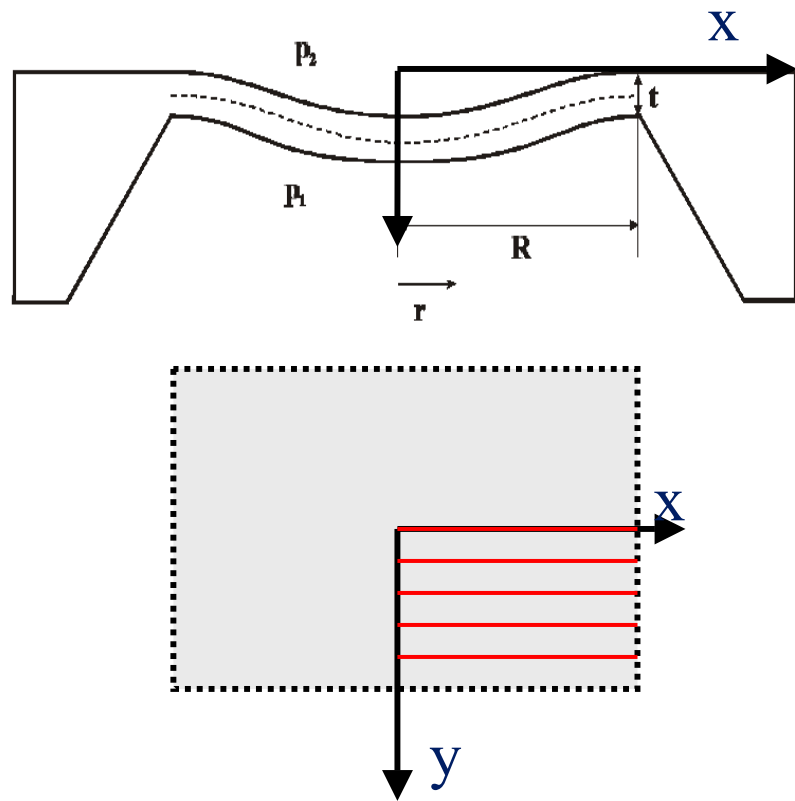
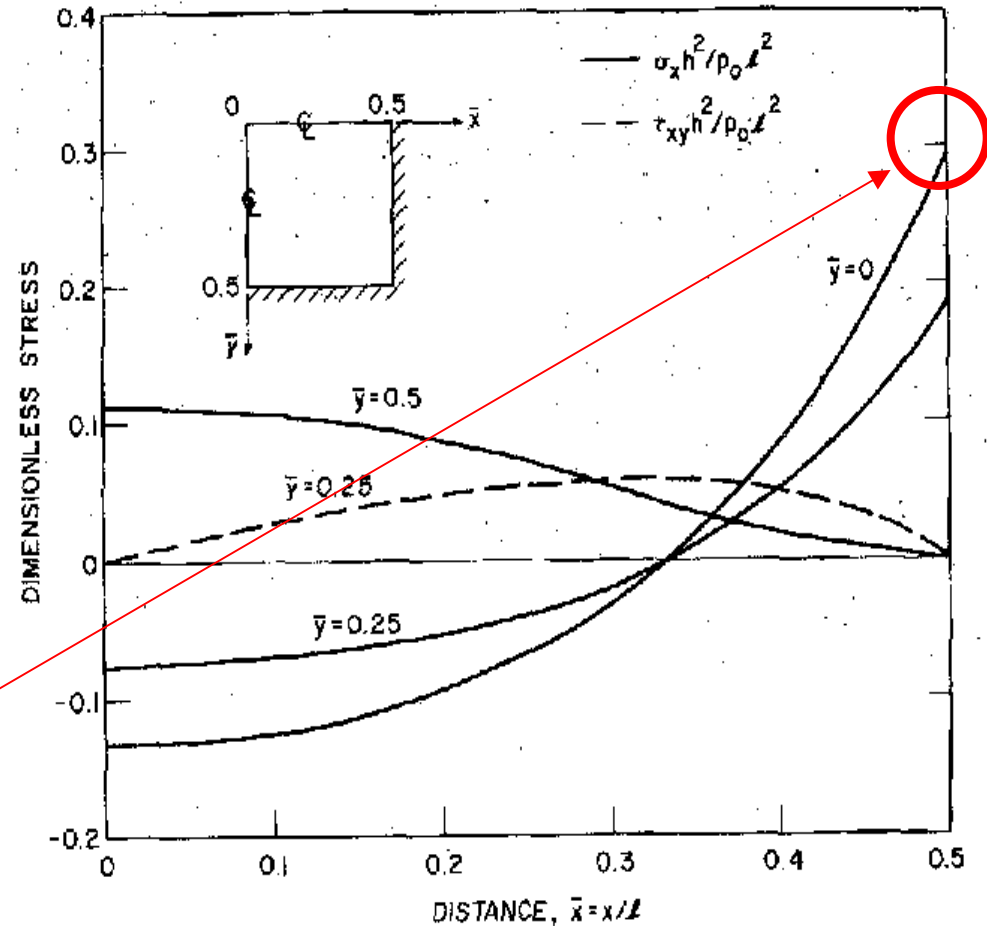
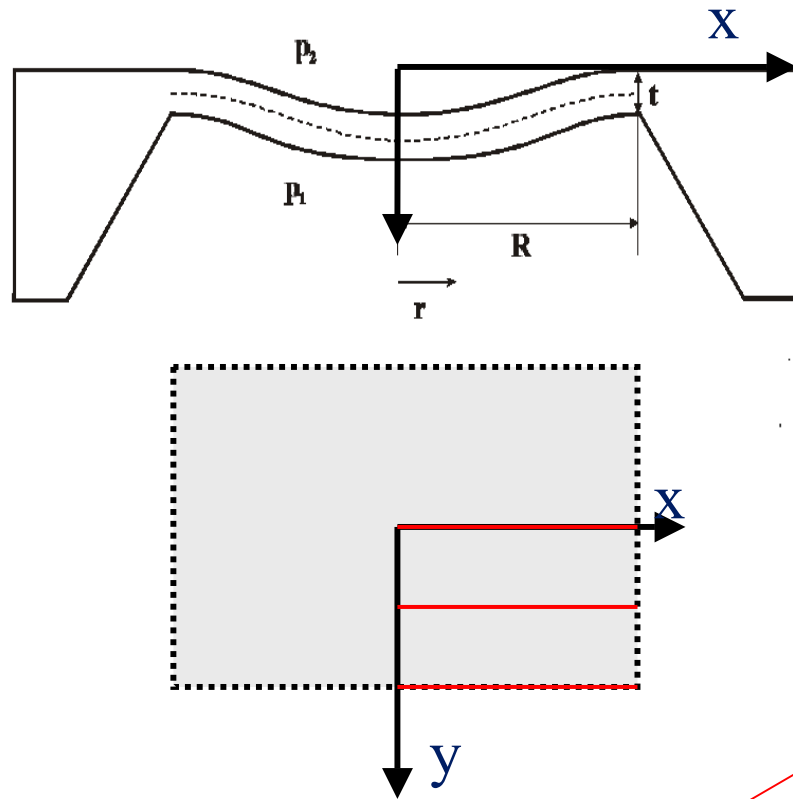


Fig. 4. Dimensionless displacement of a square silicon diaphragm having built-in edges as a function of position on the diaphragm.

# Deformazione e sforzo sulla membrana

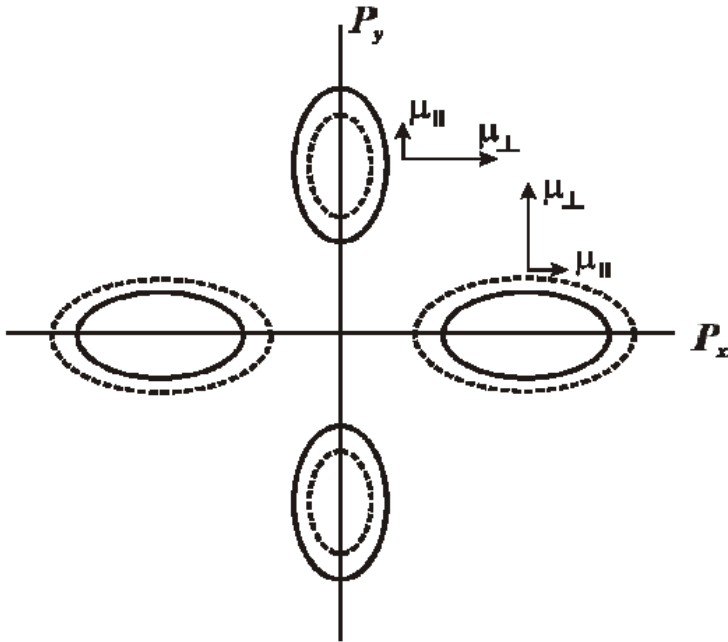
(S.K.Clark & K.D. Wise, IEEE Tr. ED 26, 1979)



$$\sigma_{xxmax} = 0.3 p (L/H)^2$$

Fig. 5. Dimensionless stress distributions on a silicon diaphragm having built-in edges.

# Sensori piezoresistivi



$$\Delta\rho/\rho_0 = \pi \sigma$$

$\rho$ - resistività del silicio

$\sigma$ - sforzo

$$\mathbf{E} = \rho_e [1 + \mathbf{\Pi} \sigma] \mathbf{J}$$

Electric field      Resistivity tensor      Stress      Current density



# Sensori piezoresistivi

$$\mathbf{E} = \rho_e [1 + \mathbf{\Pi} \boldsymbol{\sigma}] \mathbf{J}$$


$$\begin{pmatrix} (\Delta\rho/\rho)_{11} \\ (\Delta\rho/\rho)_{22} \\ (\Delta\rho/\rho)_{33} \\ (\Delta\rho/\rho)_{23} \\ (\Delta\rho/\rho)_{13} \\ (\Delta\rho/\rho)_{12} \end{pmatrix} = \begin{pmatrix} \pi_{11} & \pi_{12} & \pi_{12} & 0 & 0 & 0 \\ \pi_{12} & \pi_{11} & \pi_{12} & 0 & 0 & 0 \\ \pi_{12} & \pi_{12} & \pi_{11} & 0 & 0 & 0 \\ 0 & 0 & 0 & \pi_{44} & 0 & 0 \\ 0 & 0 & 0 & 0 & \pi_{44} & 0 \\ 0 & 0 & 0 & 0 & 0 & \pi_{44} \end{pmatrix} \begin{pmatrix} \sigma_{11} \\ \sigma_{22} \\ \sigma_{33} \\ \sigma_{23} \\ \sigma_{13} \\ \sigma_{12} \end{pmatrix}$$

# Sensori piezoresistivi

$$\mathbf{E} = \rho_e [1 + \mathbf{\Pi} \boldsymbol{\sigma}] \mathbf{J}$$

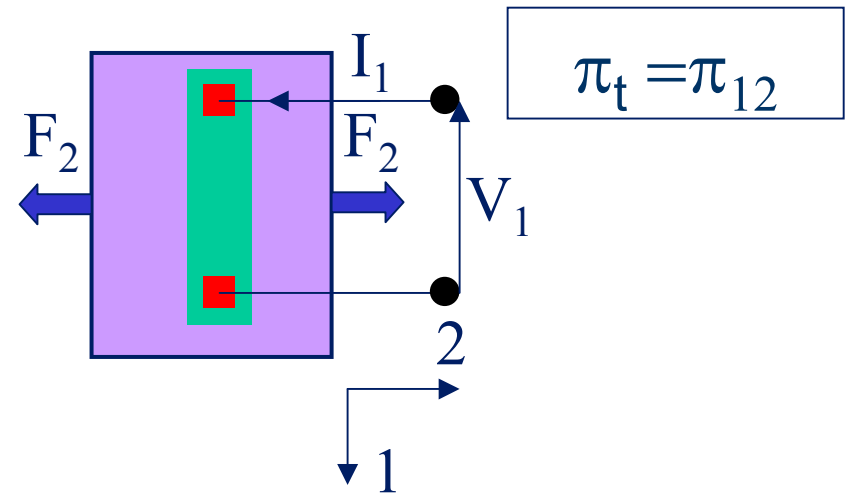
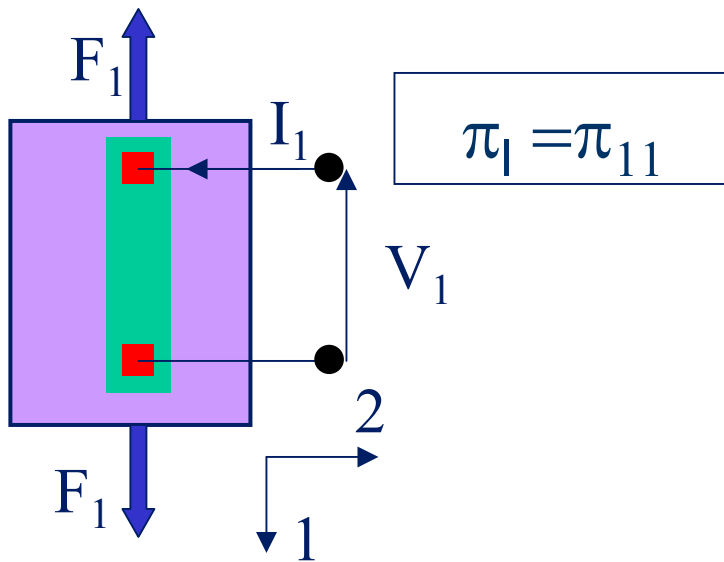
$$\frac{E_1}{\rho_e} = [1 + \pi_{11}\sigma_{11} + \pi_{12}(\sigma_{22} + \sigma_{33})] J_1 + \pi_{44}(\sigma_{12}J_2 + \sigma_{13}J_3)$$

$$\frac{E_2}{\rho_e} = [1 + \pi_{11}\sigma_{22} + \pi_{12}(\sigma_{11} + \sigma_{33})] J_2 + \pi_{44}(\sigma_{12}J_1 + \sigma_{23}J_3)$$

$$\frac{E_3}{\rho_e} = [1 + \pi_{11}\sigma_{33} + \pi_{12}(\sigma_{11} + \sigma_{22})] J_3 + \pi_{44}(\sigma_{13}J_1 + \sigma_{23}J_2)$$

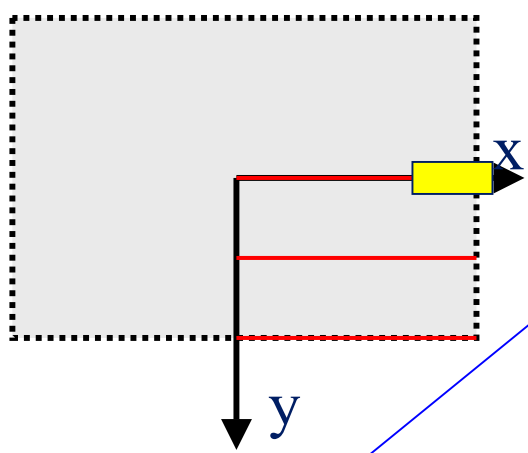
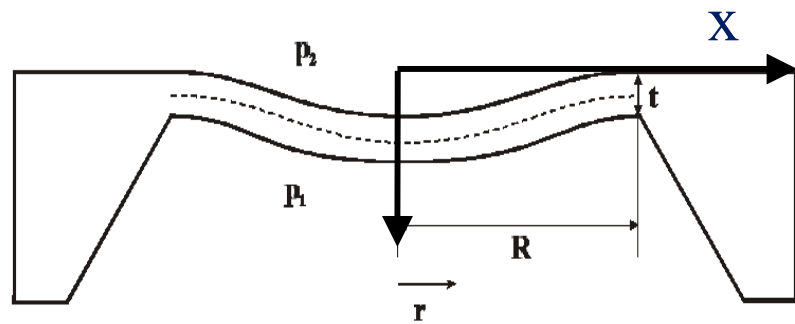
$$\frac{E_1}{\rho_e} = [1 + \pi_{11}\sigma_{11} + \pi_{12}(\sigma_{22} + \sigma_{33})] J_1 + \pi_{44}(\sigma_{12}J_2 + \sigma_{13}J_3)$$

Type	Resistivity	$\pi_{11}$	$\pi_{12}$	$\pi_{44}$
Units	$\Omega$ -cm	$10^{-11} \text{ Pa}^{-1}$	$10^{-11} \text{ Pa}^{-1}$	$10^{-11} \text{ Pa}^{-1}$
n-type	11.7	-102.2	53.4	-13.6
p-type	7.8	6.6	-1.1	138.1



# Sforzo longitudinale e sforzo trasversale

(S.K.Clark & K.D. Wise, IEEE Tr. ED 26, 1979)



$$\sigma_{yy} = 0.1 p (L/H)^2$$

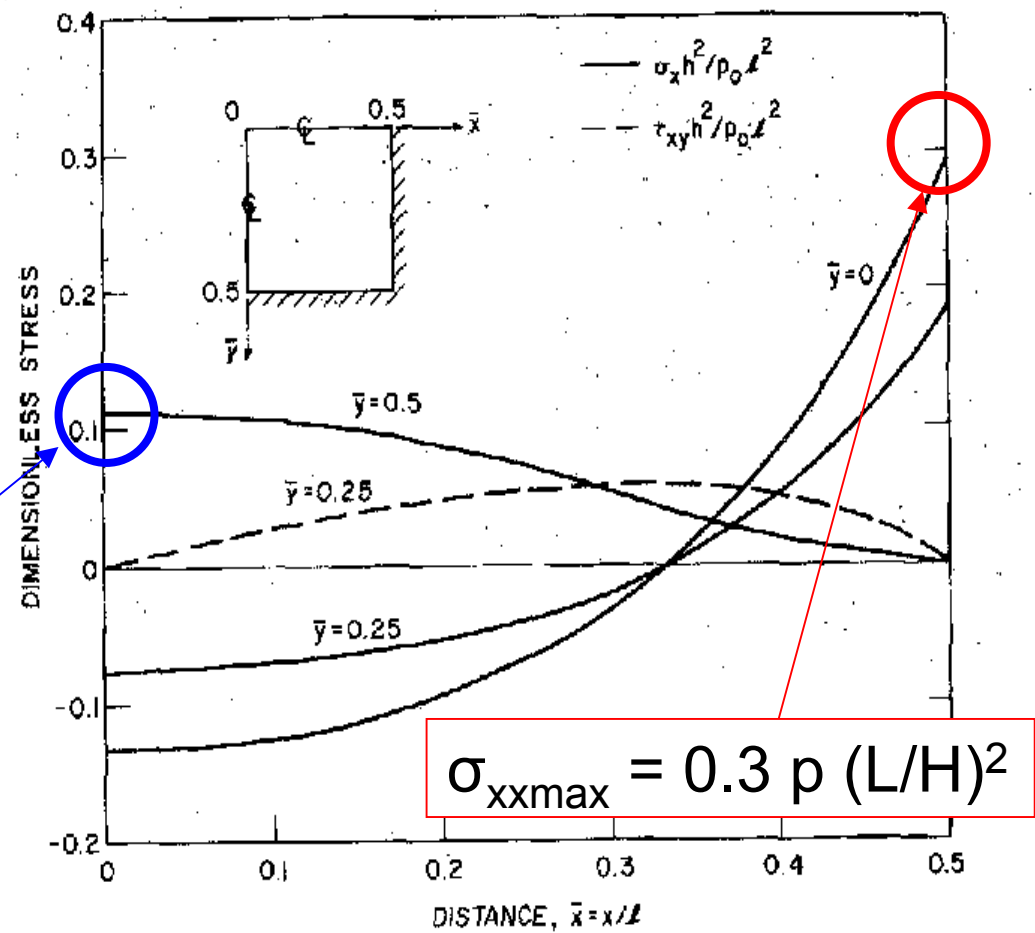


Fig. 5. Dimensionless stress distributions on a silicon diaphragm having built-in edges.

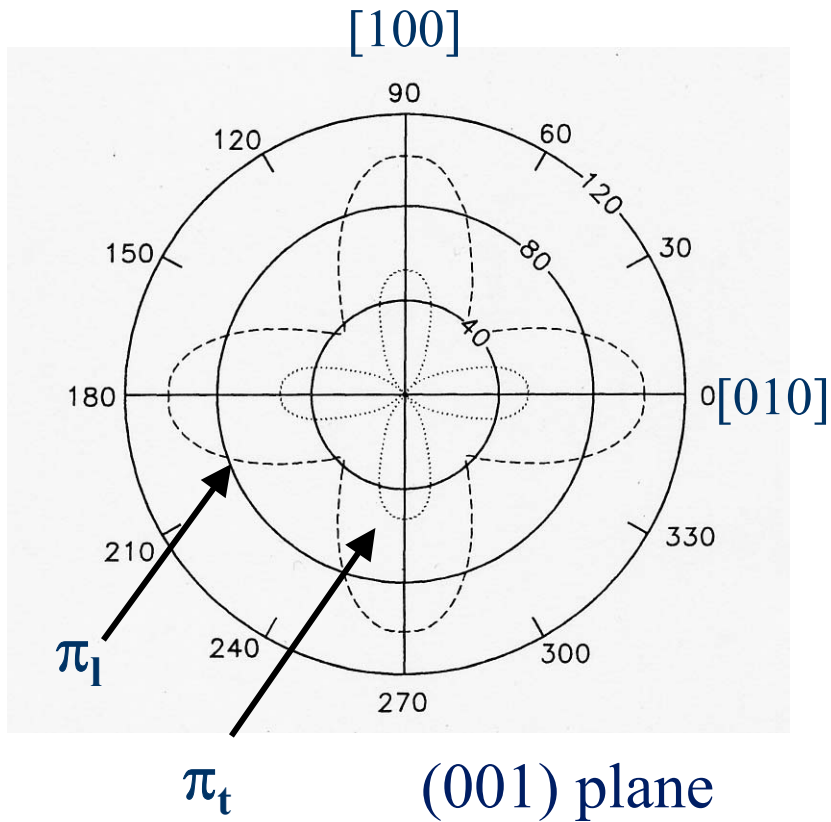
$$\frac{\Delta R}{R} = \pi_l \sigma_l + \pi_t \sigma_t \quad l: \text{longitudinal, } t: \text{transverse}$$

Longitudinal direction	$\pi_l$	Transverse direction	$\pi_t$
[100]	$\pi_{11}$	[010]	$\pi_{12}$
[110]	$1/2 (\pi_{11} + \pi_{12} + \pi_{44})$	$\bar{[110]}$	$1/2 (\pi_{11} + \pi_{12} - \pi_{44})$

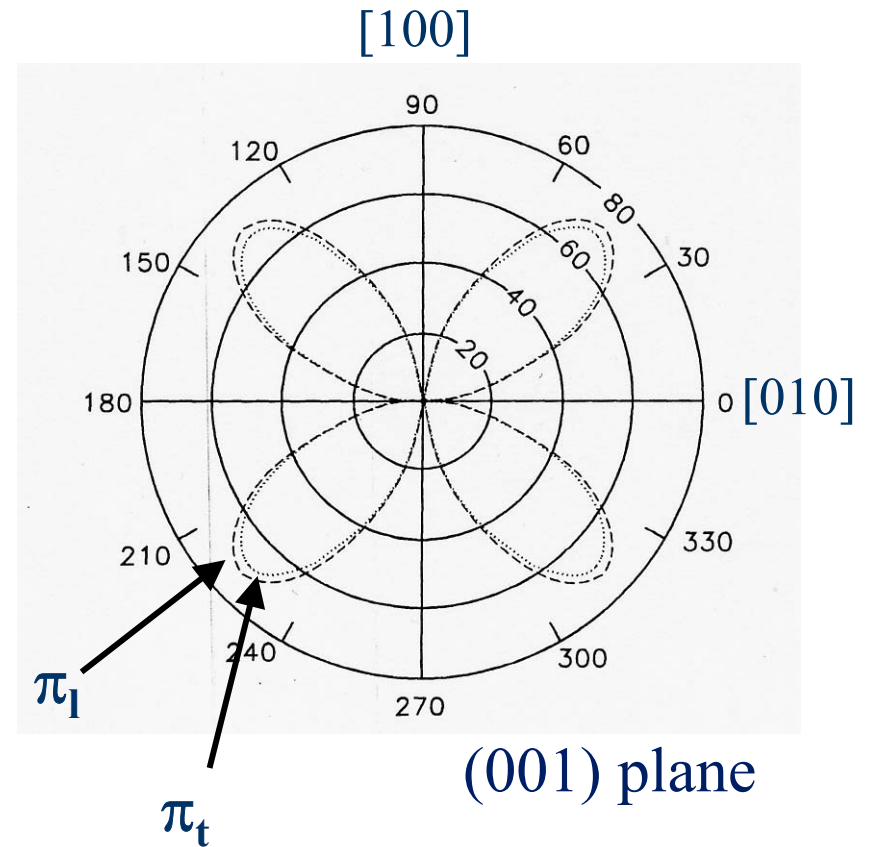


Rappresentazione grafica  
dei coefficienti piezoresistivi longitudinale e trasversale  
(Y. Kanda, IEEE Tr. ED 29, 1982)

# Longitudinal & Transverse piezoresistance coefficients

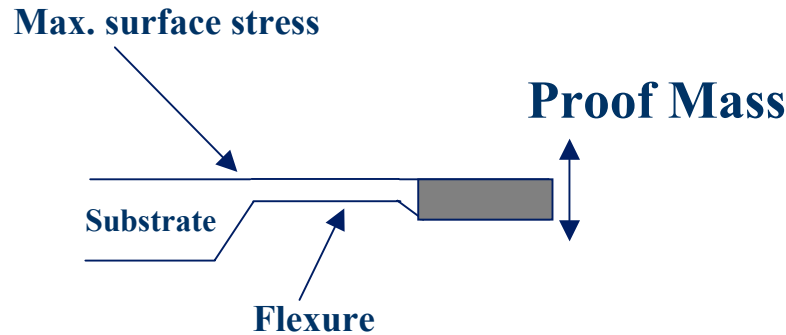


n-type Si



p-type Si

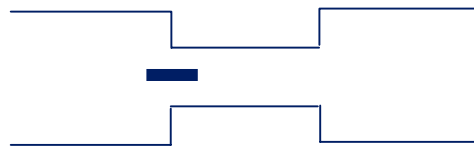
# Concept of a piezoresistive sensing scheme



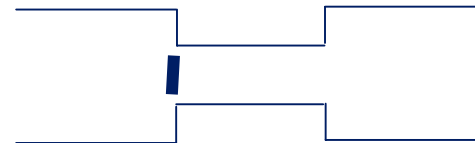
*If piezo-resistor is along [110]:*

n-type:  $\pi_l: -31.2 \cdot 10^{-11} \text{ Pa}^{-1}$ ,  $\pi_t: -17.6 \cdot 10^{-11} \text{ Pa}^{-1}$

p-type:  $\pi_l: 71.8 \cdot 10^{-11} \text{ Pa}^{-1}$ ,  $\pi_t: -66.3 \cdot 10^{-11} \text{ Pa}^{-1}$



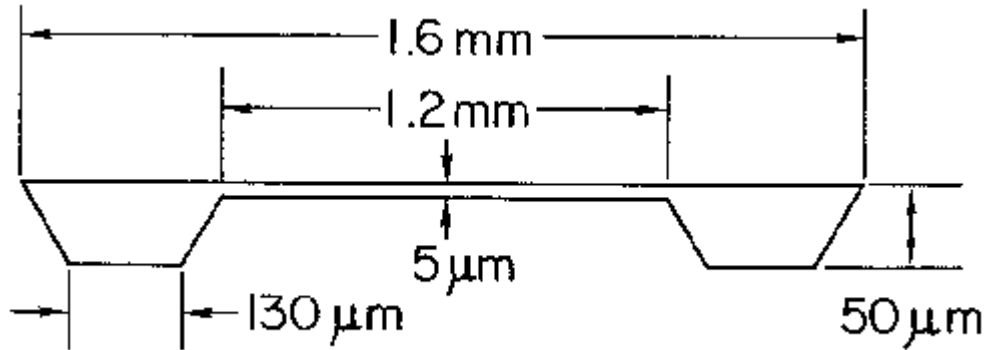
**Longitudinal**



**Transverse**

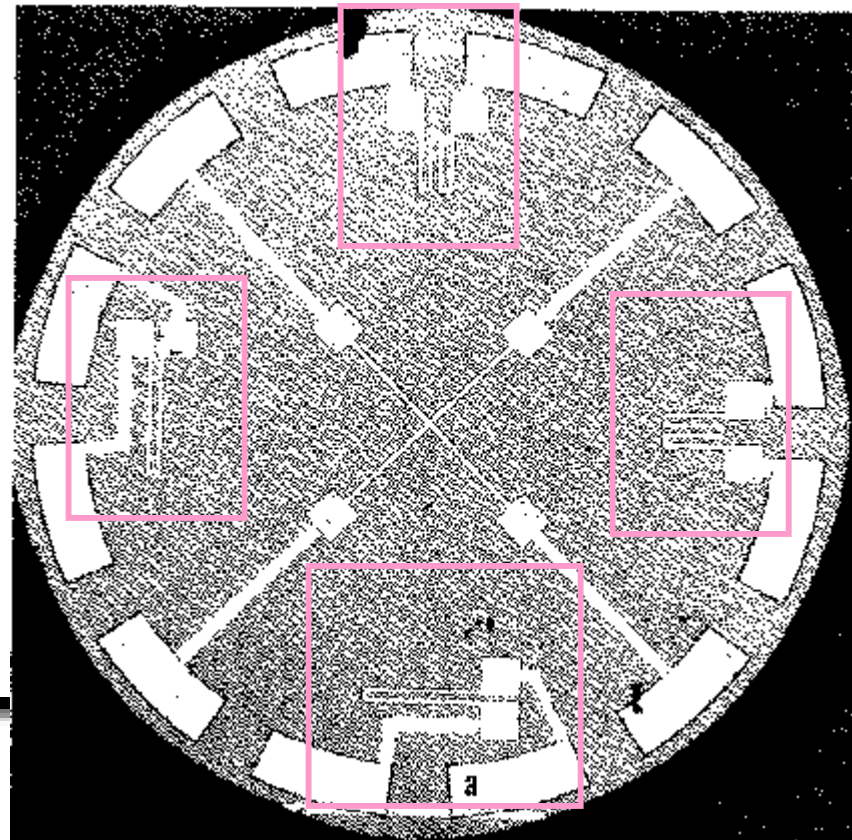
# Sensore di pressione piezoresistivo

(S. Samaun et al., "An IC Piezoresistive Pressure Sensor for Biomedical Instrumentation", ISSCC 1971)



realizzazione delle resistenze:

layout delle resistenze →





**Diaphragm**

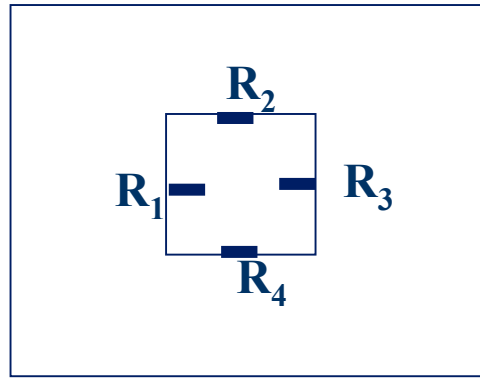


**CROSS-SECTION**



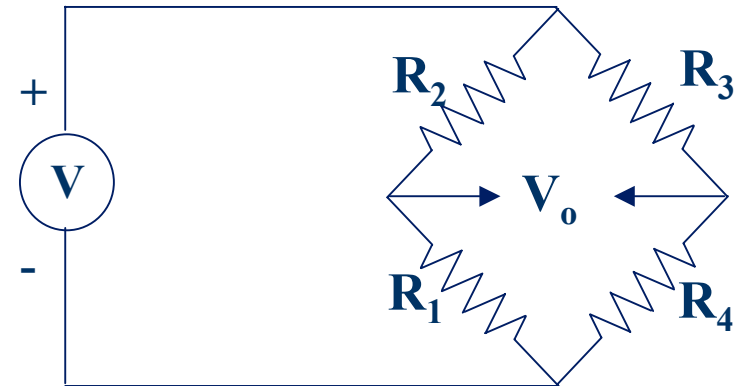
$$\frac{\Delta R_1}{R_1} = \pi_1 \sigma_1 + \pi_t \sigma_t$$

**TOP VIEW**



$$\frac{\Delta R_2}{R_2} = \pi_t \sigma_1 + \pi_1 \sigma_t$$

**WHEATSTONE BRIDGE**



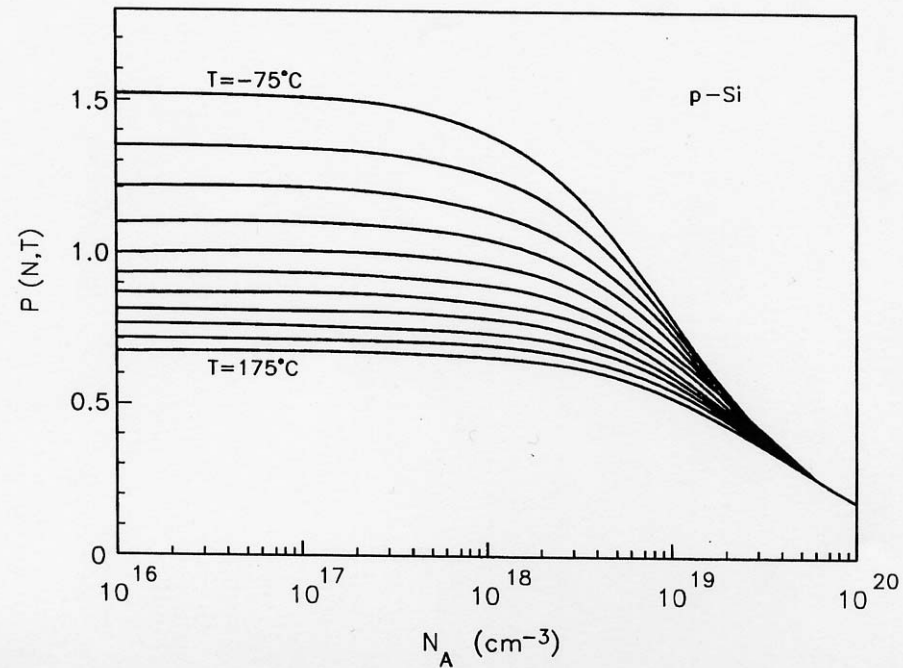
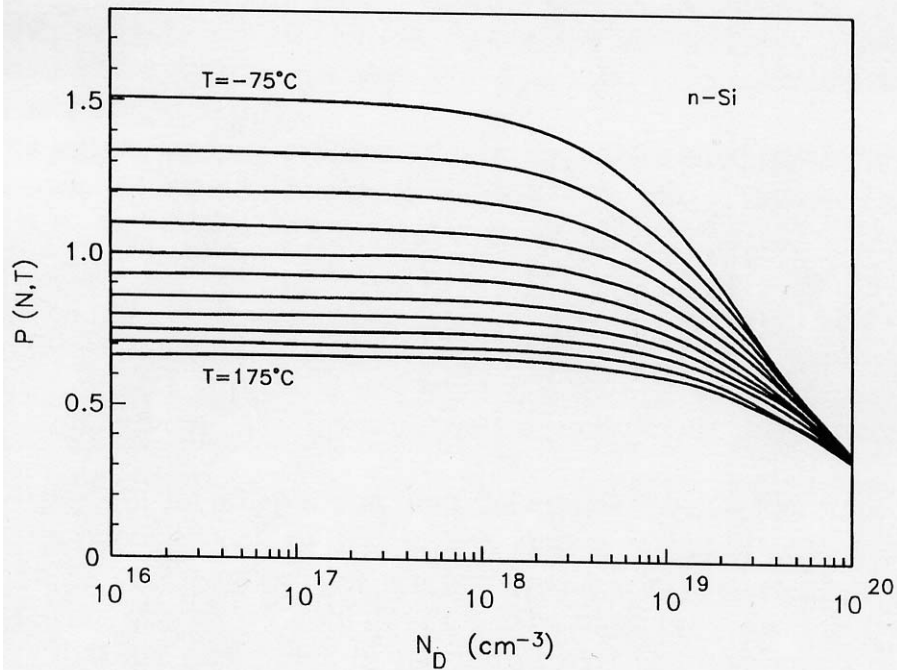
$$R_1 = R_3 = (1 + \alpha_1) R_0$$

$$R_2 = R_4 = (1 - \alpha_2) R_0$$

→ effetti legati alla temperatura

## Piezoresistance coefficients as a function of impurity concentration and temperature for n-Si and p-Si

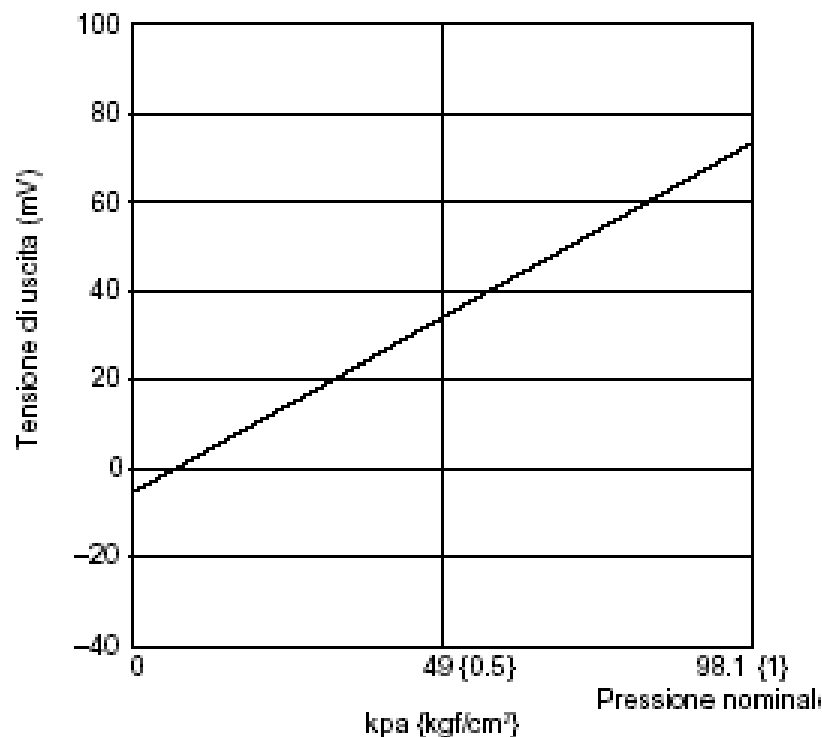
(Y. Kanda, IEEE Tr. ED 29, 1982)



## 1. Caratteristiche del sensore

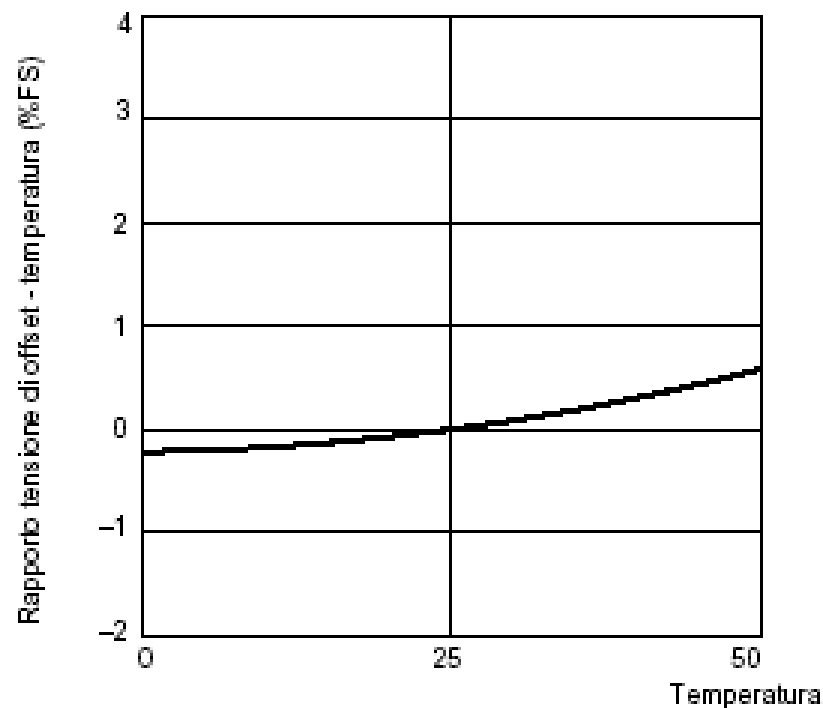
1-<1> Caratteristiche dell'uscita  
ADP1141

Corrente di esercizio: 1.5 mA;  
temperatura: 25°C

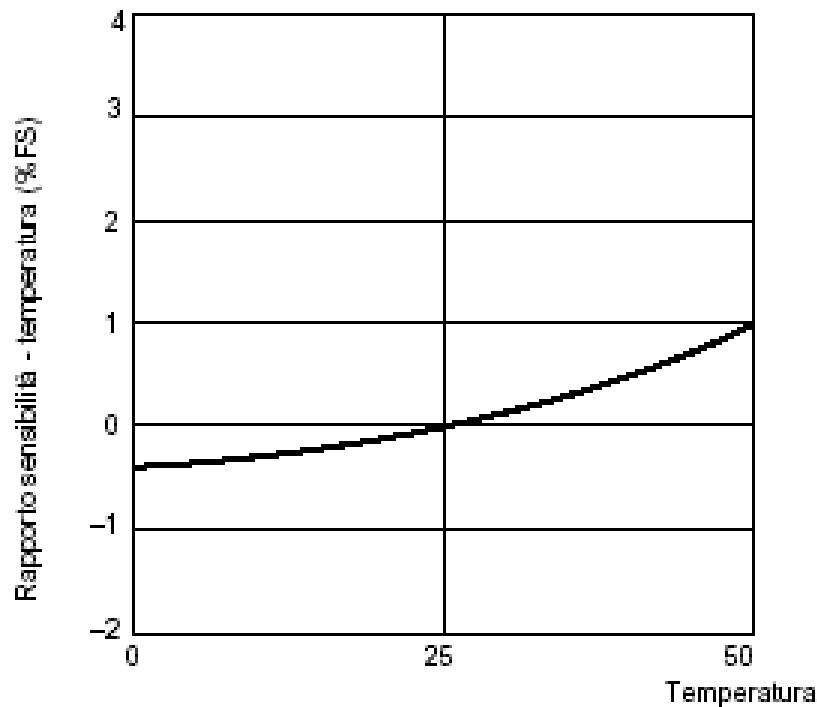


1-<2> Rapporto tensione di offset  
temperatura ADP1141

Corrente di esercizio: 1.5 mA;  
valore nominale  $\pm 5\%$ FS

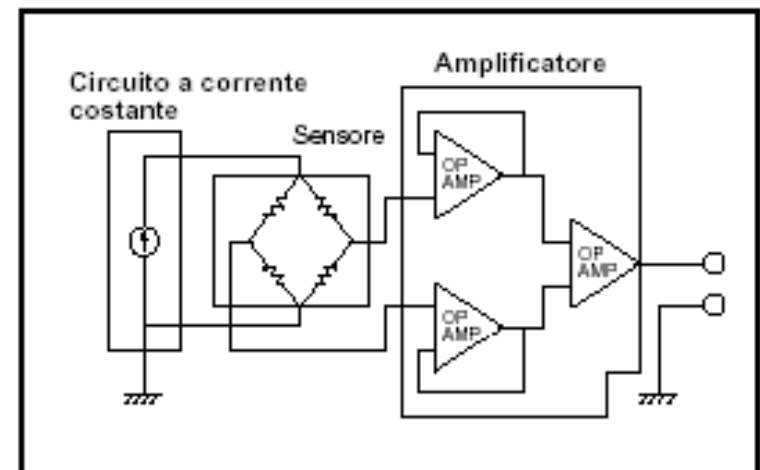


1-<3> Rapporto sensibilità / temperatura (%FS) ADP1141  
Corrente di esercizio: 1.5 mA;  
Valore nominale  $\pm 2.5\%FS$



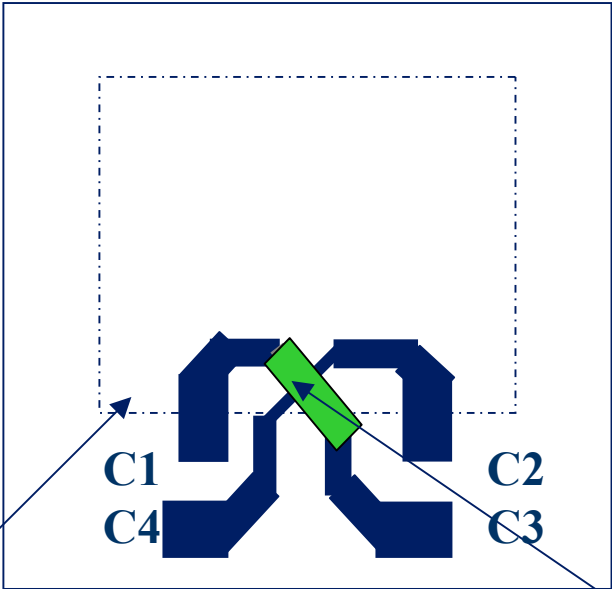
## ESEMPIO DI COLLEGAMENTO

La funzione di un sensore di pressione è di trasformare la pressione in un segnale elettrico. La figura rappresenta un tipico esempio di circuito di applicazione dei sensori di pressione.



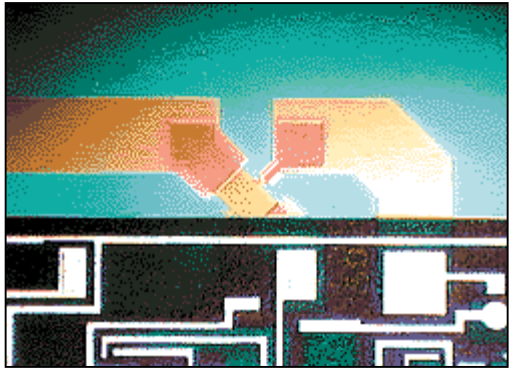
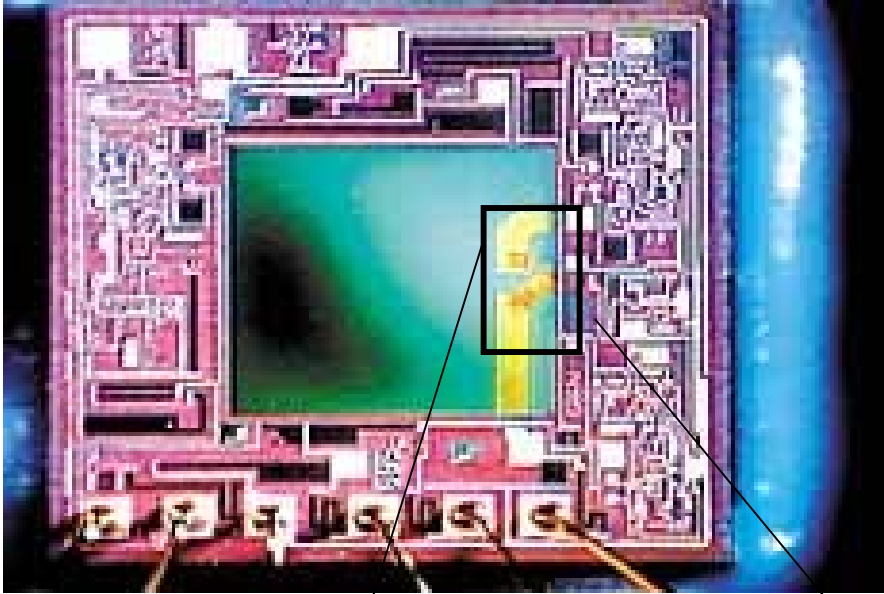
# The Motorola X-ducer™ piezoresistor

TOP VIEW



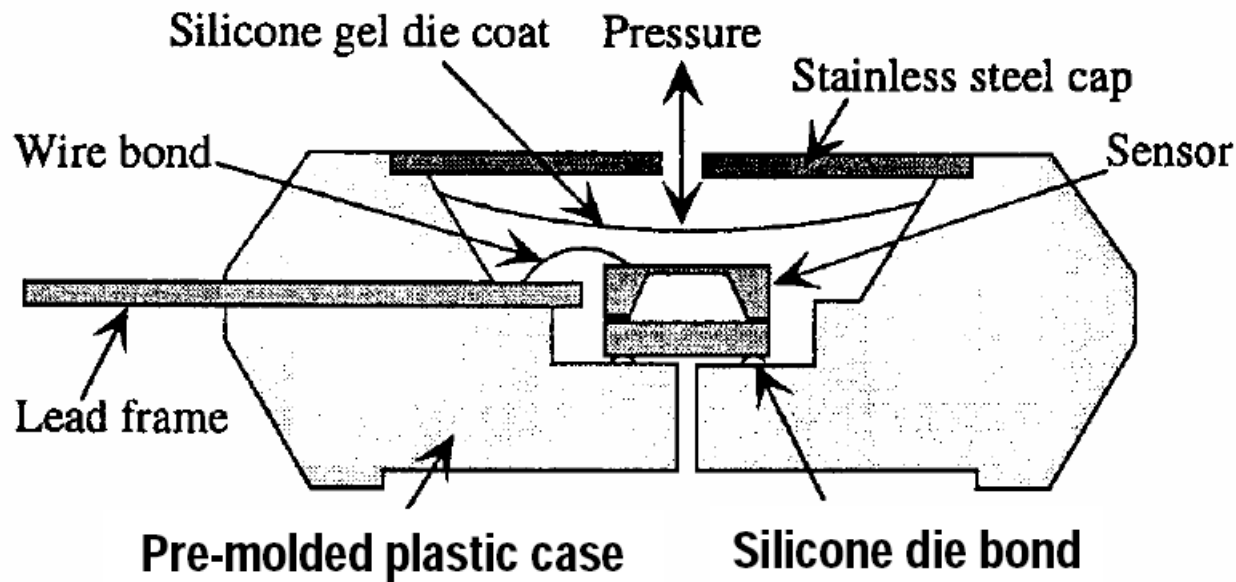
DIAPHRAGM

piezoresistor

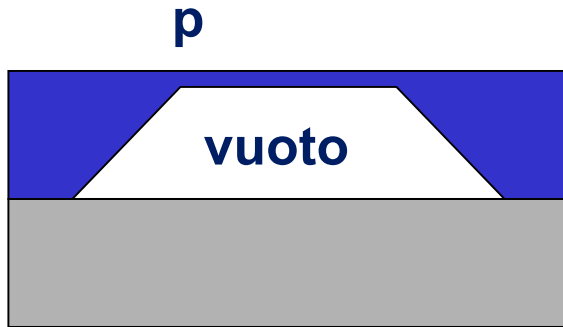


## Manifold-Absolute-Pressure (MAP) Sensor by MOTOROLA

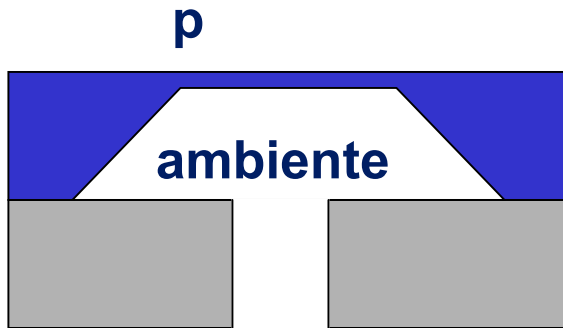
misura la pressione assoluta del flusso di aria nel collettore per calcolare la portata di aria ed il rapporto aria-benzina nel motore. La centralina elettronica calcola il tempo di iniezione adeguandolo dinamicamente.



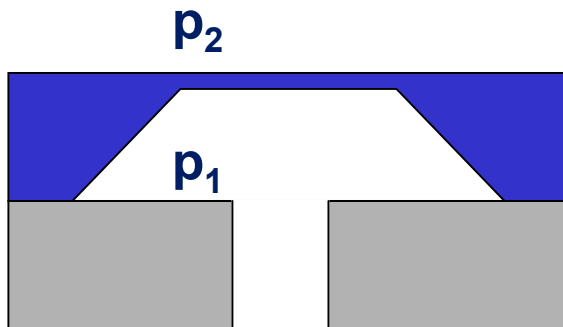
S. Senturia, page 461, *Microsystem design*



**Sensore di pressione assoluta**



**Sensore di pressione relativa all'ambiente**



**Sensore di pressione differenziale ( $p_2 - p_1$ )**